

Quarta Lista de Exercícios de Mecânica Estatística

Fabio de Moraes Canedo
7994642

4 de dezembro de 2018

1 P1

Nesse problema, consideramos o Hamiltoniano seguinte:

$$\hat{H} = \sum_{i \in \{L, R\}} U \hat{n}_{i+} \hat{n}_{i-} - J \sum_{\sigma = \pm 1} (c_{L\sigma}^\dagger c_{R\sigma} + c_{L\sigma}^\dagger c_{R\sigma}), \quad (1)$$

onde $\hat{n}_{i\sigma} = c_{i\sigma}^\dagger c_{i\sigma}$. E temos as relações de anticomutação típicas de um sistema fermiônico:

$$\{c_{i\sigma}^\dagger, c_{j\sigma'}\} = \delta_{i,j} \delta_{\sigma,\sigma'} \quad (2a)$$

$$\{c_{i\sigma}^\dagger, c_{j\sigma'}^\dagger\} = 0 \quad (2b)$$

$$\{c_{i\sigma}, c_{j\sigma'}\} = 0 \quad (2c)$$

Calculamos agora as seguintes relações de comutação:

$$[\hat{n}_{L+}, \hat{H}] = -J (c_{L+}^\dagger c_{R+} - c_{R+}^\dagger c_{L+}) \quad (3a)$$

$$[\hat{n}_{R+}, \hat{H}] = J (c_{L+}^\dagger c_{R+} - c_{R+}^\dagger c_{L+}) \quad (3b)$$

$$[\hat{n}_{L-}, \hat{H}] = -J (c_{L-}^\dagger c_{R-} - c_{R-}^\dagger c_{L-}) \quad (3c)$$

$$[\hat{n}_{R-}, \hat{H}] = J (c_{L-}^\dagger c_{R-} - c_{R-}^\dagger c_{L-}) \quad (3d)$$

Esses cálculos podem ser realizados com o auxílio das Equações (2). Chegamos portanto, se combinarmos (3a) e (3b), a:

$$\left[\hat{n}_{L+} + \hat{n}_{R+}, \hat{H} \right] = 0 \quad (4)$$

E, combinando (3c) e (3d), chegamos a:

$$\left[\hat{n}_{L-} + \hat{n}_{R-}, \hat{H} \right] = 0 \quad (5)$$

Portanto, os números de partículas de tipo $+$ e $-$ são quantidades conservadas. Isso nos permite restringir o problema a subespaços vetoriais específicos para achar o espectro de energia do sistema. Se definirmos o estado $|n_+, i, n_-, j\rangle$ como o estado com n_+ partículas do tipo $+$ e n_- partículas do tipo $-$, e com i partículas do tipo $+$ no sítio L e também j partículas do tipo $+$ no sítio L . Teremos então, subespaços onde diagonalizar a matriz. Por exemplo, o subespaço constituído pelo vetor $|2, 1, 2, 1\rangle$ é um subespaço unidimensional, portanto é autovetor do Hamiltoniano. O subespaço constituído por $|0, 0, 0, 0\rangle$ também é outro unidimensional e, portanto, também autovetor do Hamiltoniano. Resta, então, analisar os subespaços de dimensão maior. Estes são os casos:

A $|1, 0, 0, 0\rangle$ e $|1, 1, 0, 0\rangle$;

B $|1, 0, 1, 0\rangle$, $|1, 0, 1, 1\rangle$, $|1, 1, 1, 0\rangle$ e $|1, 1, 1, 1\rangle$;

C $|1, 1, 2, 1\rangle$ e $|1, 0, 2, 1\rangle$;

Teremos também, as reflexões $n_+ \leftrightarrow n_-$. O que nos leva a outra simetria do problema. Essa simetria é a das reflexões $R \leftrightarrow L$. Como a inversão $R \leftrightarrow L$ é um operador cujo quadrado é a identidade, seus autovalores podem ser somente ± 1 . Portanto, precisamos de autoestados simétricos ou anti-simétricos em relação a essa inversão. Para cada autoespaço acima, teremos os seguintes autovetores do operador P responsável por $R \leftrightarrow L$:

A .1 $\frac{1}{\sqrt{2}} (|1, 0, 0, 0\rangle + |1, 1, 0, 0\rangle)$ ($P = +1$);

.2 $\frac{1}{\sqrt{2}} (|1, 0, 0, 0\rangle - |1, 1, 0, 0\rangle)$ ($P = -1$);

B .1 $\frac{1}{\sqrt{2}} (|1, 0, 1, 0\rangle + |1, 1, 1, 1\rangle)$ ($P = +1$);

.2 $\frac{1}{\sqrt{2}} (|1, 0, 1, 0\rangle - |1, 1, 1, 1\rangle)$ ($P = -1$);

.3 $\frac{1}{\sqrt{2}} (|1, 0, 1, 1\rangle + |1, 0, 1, 1\rangle)$ ($P = +1$);

.4 $\frac{1}{\sqrt{2}} (|1, 0, 1, 1\rangle - |1, 0, 1, 1\rangle)$ ($P = -1$);

$$\begin{aligned} \mathbf{C} \quad .1 \quad & \frac{1}{\sqrt{2}} (|1, 0, 2, 1\rangle + |1, 1, 2, 1\rangle) \quad (P = +1); \\ .2 \quad & \frac{1}{\sqrt{2}} (|1, 0, 2, 1\rangle - |1, 1, 2, 1\rangle) \quad (P = -1); \end{aligned}$$

Com mais uma cópia de \mathbf{A} e outra do subespaço \mathbf{C} temos vários subespaços já diagonalizados. Para fins de completeza, listamos todos abaixo, separados pela paridade $R \leftrightarrow L$:

$$\begin{aligned} n_+ = 0, n_- = 0 \quad .1 \quad & |0, 0, 0, 0\rangle \quad (P = +1); \\ n_+ = 0, n_- = 1 \quad .1 \quad & \frac{1}{\sqrt{2}} (|0, 0, 1, 0\rangle + |0, 0, 1, 1\rangle) \quad (P = +1); \\ .2 \quad & \frac{1}{\sqrt{2}} (|0, 0, 1, 0\rangle - |0, 0, 1, 1\rangle) \quad (P = -1); \\ n_+ = 0, n_- = 2 \quad .1 \quad & |0, 0, 2, 1\rangle \quad (P = +1); \\ n_+ = 1, n_- = 0 \quad .1 \quad & \frac{1}{\sqrt{2}} (|1, 0, 0, 0\rangle + |1, 1, 0, 0\rangle) \quad (P = +1); \\ .2 \quad & \frac{1}{\sqrt{2}} (|1, 0, 0, 0\rangle - |1, 1, 0, 0\rangle) \quad (P = -1); \\ n_+ = 1, n_- = 1 \quad .1 \quad & \frac{1}{\sqrt{2}} (|1, 0, 1, 0\rangle + |1, 1, 1, 1\rangle) \quad (P = +1); \\ .2 \quad & \frac{1}{\sqrt{2}} (|1, 0, 1, 1\rangle + |1, 1, 1, 0\rangle) \quad (P = +1); \\ .3 \quad & \frac{1}{\sqrt{2}} (|1, 0, 1, 0\rangle - |1, 1, 1, 1\rangle) \quad (P = -1); \\ .4 \quad & \frac{1}{\sqrt{2}} (|1, 0, 1, 1\rangle - |1, 1, 1, 0\rangle) \quad (P = -1); \\ n_+ = 1, n_- = 2 \quad .1 \quad & \frac{1}{\sqrt{2}} (|1, 0, 2, 1\rangle + |1, 1, 2, 1\rangle) \quad (P = +1); \\ .2 \quad & \frac{1}{\sqrt{2}} (|1, 0, 2, 1\rangle - |1, 1, 2, 1\rangle) \quad (P = -1); \\ n_+ = 2, n_- = 0 \quad .1 \quad & |2, 1, 0, 0\rangle \quad (P = +1); \\ n_+ = 2, n_- = 1 \quad .1 \quad & \frac{1}{\sqrt{2}} (|2, 1, 1, 0\rangle + |2, 1, 1, 1\rangle) \quad (P = +1); \\ .2 \quad & \frac{1}{\sqrt{2}} (|2, 1, 1, 0\rangle - |2, 1, 1, 1\rangle) \quad (P = -1); \\ n_+ = 2, n_- = 2 \quad .1 \quad & |2, 1, 2, 1\rangle \quad (P = +1); \end{aligned}$$

Para diagonalizar completamente o Hamiltoniano, precisamos ainda lidar com o subespaço $\{n_+ = 1, n_- = 1\}$, já que podemos combinar autoestados com a mesma paridade em relação à $L \leftrightarrow R$. Nesse subespaço, o Hamiltoniano toma a forma:

$$\begin{bmatrix} U & 2J & 0 & 0 \\ 2J & 0 & 0 & 0 \\ 0 & 0 & U & 0 \\ 0 & 0 & 0 & 0 \end{bmatrix} \quad (6)$$

Onde tomamos a base com os vetores da lista e na ordem em que aparecem na lista. Dessa forma, no subespaço $P = +1$ (representado pelo bloco superior esquerdo da matriz) teremos as energias $E_{P=+1} = \frac{U \pm \sqrt{U^2 + 4J^2}}{2}$, e no outro subespaço ($P = -1$), a matriz já está diagonal.

O espectro de energia será, portanto:

$$\begin{aligned}
\{n_+ = 0, n_- = 0\} \quad & E = 0; \\
\{n_+ = 0, n_- = 1\} \quad & - E = -J; \\
& - E = +J; \\
\{n_+ = 0, n_- = 2\} \quad & E = 0; \\
\{n_+ = 1, n_- = 0\} \quad & - E = -J; \\
& - E = +J; \\
\{n_+ = 1, n_- = 1\} \quad & - E = \frac{U + \sqrt{U^2 + 4J^2}}{2}; \\
& - E = \frac{U - \sqrt{U^2 + 4J^2}}{2}; \\
& - E = U; \\
& - E = 0; \\
\{n_+ = 1, n_- = 2\} \quad & - E = U - J; \\
& - E = U + J; \\
\{n_+ = 2, n_- = 0\} \quad & E = 0; \\
\{n_+ = 2, n_- = 1\} \quad & - E = U - J; \\
& - E = U + J; \\
\{n_+ = 2, n_- = 2\} \quad & E = 2U;
\end{aligned}$$

Podemos, agora, para cada número de partículas, calcular a função equipartição:

$$\begin{aligned}
\{n_+ = 0, n_- = 0\} \quad & Z = 1; \\
\{n_+ = 0, n_- = 1\} \quad & Z = 2 \cosh \beta J; \\
\{n_+ = 0, n_- = 2\} \quad & Z = 1; \\
\{n_+ = 1, n_- = 0\} \quad & Z = 2 \cosh \beta J;
\end{aligned}$$

$$\{n_+ = 1, n_- = 1\} \quad Z = 2e^{-\beta \frac{U}{2}} \left\{ \cosh \beta \frac{U}{2} + \cosh \beta \frac{\sqrt{U^2 + 4J^2}}{2} \right\};$$

$$\{n_+ = 1, n_- = 2\} \quad Z = 2e^{-\beta U} \cosh \beta J;$$

$$\{n_+ = 2, n_- = 0\} \quad Z = 1;$$

$$\{n_+ = 2, n_- = 1\} \quad Z = 2e^{-\beta U} \cosh \beta J;$$

$$\{n_+ = 2, n_- = 2\} \quad Z = e^{-2\beta U};$$

Daqui podemos tirar cinco funções equipartições distintas:

$$Z_1 = 1 \tag{7a}$$

$$Z_2 = 2 \cosh (J\beta) \tag{7b}$$

$$Z_3 = 2 \left(\cosh \left(\frac{U\beta}{2} \right) + \cosh \left(\frac{\beta \sqrt{4J^2 + U^2}}{2} \right) \right) e^{-\frac{U\beta}{2}} \tag{7c}$$

$$Z_4 = 2e^{-U\beta} \cosh (J\beta) \tag{7d}$$

$$Z_5 = e^{-2U\beta} \tag{7e}$$

Podemos tirar os potenciais termodinâmicos dessas:

$$F_1 = 0 \tag{8a}$$

$$F_2 = -\frac{\log (2 \cosh (J\beta))}{\beta} \tag{8b}$$

$$F_3 = -\frac{-\frac{U\beta}{2} + \log \left(\cosh \left(\frac{U\beta}{2} \right) + \cosh \left(\frac{\beta \sqrt{4J^2 + U^2}}{2} \right) \right) + \log (2)}{\beta} \tag{8c}$$

$$F_4 = U - \frac{\log (2 \cosh (J\beta))}{\beta} \tag{8d}$$

$$F_5 = 2U \tag{8e}$$

E também:

$$U_1 = 0 \quad (9a)$$

$$U_2 = -J \tanh(J\beta) \quad (9b)$$

$$U_3 = - \frac{-U \left(\cosh\left(\frac{U\beta}{2}\right) + \cosh\left(\frac{\beta\sqrt{4J^2+U^2}}{2}\right) \right) + U \sinh\left(\frac{U\beta}{2}\right) + \sqrt{4J^2+U^2} \sinh\left(\frac{\beta\sqrt{4J^2+U^2}}{2}\right)}{2 \cosh\left(\frac{U\beta}{2}\right) + 2 \cosh\left(\frac{\beta\sqrt{4J^2+U^2}}{2}\right)} \quad (9c)$$

$$U_4 = -J \tanh(J\beta) + U \quad (9d)$$

$$U_5 = 2U \quad (9e)$$

E, por fim:

$$S_1 = 0 \quad (10a)$$

$$S_2 = J\beta \tanh(J\beta) - \log(2 \cosh(J\beta)) \quad (10b)$$

$$S_3 = \beta \left(\frac{\left(-\frac{Ux_2(2x_3+2x_6)}{2} + x_2(U \sinh(x_1) + x_4 \sinh(x_5)) \right) e^{x_1}}{2x_7} - \frac{\log(2x_2x_7)}{\beta} \right) \quad (10c)$$

$$S_4 = J\beta \tanh(J\beta) - \log(2 \cosh(J\beta)) \quad (10d)$$

$$S_5 = 0 \quad (10e)$$

Onde definimos:

$$x_0 = \frac{\beta}{2} \quad (11a)$$

$$x_1 = Ux_0 \quad (11b)$$

$$x_2 = e^{-x_1} \quad (11c)$$

$$x_3 = \cosh(x_1) \quad (11d)$$

$$x_4 = \sqrt{4J^2 + U^2} \quad (11e)$$

$$x_5 = x_0x_4 \quad (11f)$$

$$x_6 = \cosh(x_5) \quad (11g)$$

$$x_7 = x_3 + x_6 \quad (11h)$$

Assim, temos todas as propriedades termodinâmicas do sistema determinadas analiticamente. Agora, introduzimos o *grand canonical ensemble* para

colocar o sistema em contato com um banho com potencial químico μ . Dessa maneira, teremos a função equipartição do sistema fica:

$$Z = \sum_{N=0}^4 z^N Z(N) \text{ onde: } \begin{cases} Z(N) & \text{é a função para número de partículas igual a } N \\ z^N & \text{é a fugacidade } e^{\beta\mu} \end{cases} \quad (12)$$

Podemos escrever as funções $Z(N)$ em termos das equações (7). Explicitamente, elas ficam:

$$Z(0) = 1 \quad (13a)$$

$$Z(1) = 4 \cosh \beta J \quad (13b)$$

$$Z(2) = 2 + 2 + 2 \left(\cosh \left(\frac{U\beta}{2} \right) + \cosh \left(\frac{\beta\sqrt{4J^2 + U^2}}{2} \right) \right) e^{-\frac{U\beta}{2}} \quad (13c)$$

$$Z(3) = 4e^{-\beta U} \cosh \beta J \quad (13d)$$

$$Z(4) = e^{-2\beta U} \quad (13e)$$

$$(13f)$$

Aplicando então a definição, podemos tirar daí a função equipartição do sistema, e dela todos os potenciais termodinâmicos. Em particular, podemos tirar N o número médio de partículas no sistema. A definição é:

$$N = \frac{\partial \log(Z)}{\partial z} \quad (14)$$

Podemos, da expressão de N , plotar seu comportamento em relação às variáveis termodinâmicas, em relação à β e a μ , podemos ver esse comportamento ilustrado na Figura 1.0.1. Os valores escolhidos de U e J foram pensados de maneira a aumentar a dependência do *ground state* em relação à μ . Para compreender melhor o comportamento observado a alto β . Que pode ser observado na Figura 1.0.2.

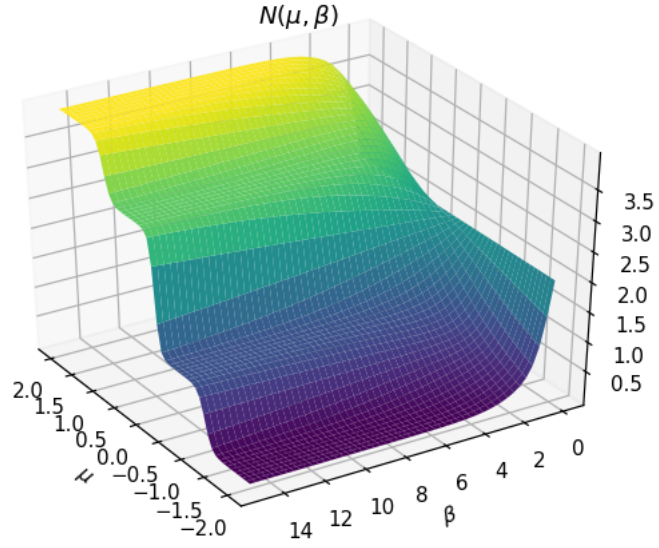


Figura 1.0.1: Comportamento de $\langle N \rangle$ em relação a β e μ . Escolhemos os valores $U = 0$ e $J = 1$.

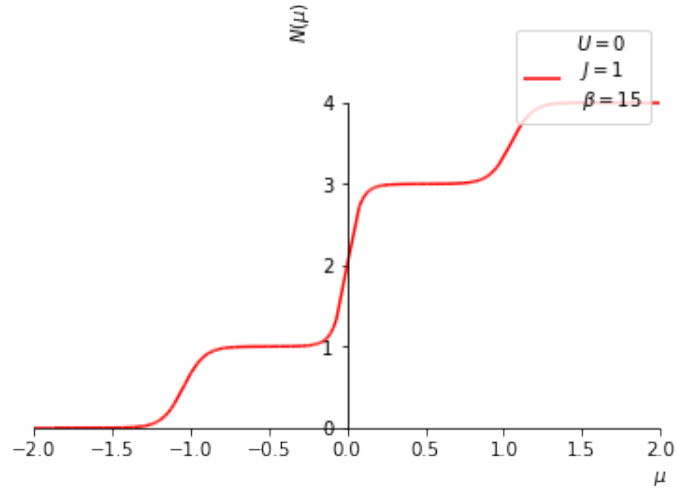


Figura 1.0.2: Comportamento de $\langle N \rangle$ em relação a μ . Escolhemos os valores $U = 0$, $\beta = 15$ e $J = 1$.

2 P2

O Hamiltoniano do problema em questão é dado por:

$$\begin{aligned}
H = \sum_{i=1}^L \epsilon_a a_i^\dagger a_i + \epsilon_b b_i^\dagger b_i - J \sum_{i=1}^L (a_{i+1}^\dagger a_i + a_i^\dagger a_{i+1}) - J \sum_{i=1}^L (b_{i+1}^\dagger b_i + b_i^\dagger b_{i+1}) \\
- J_{ab} \sum_{i=1}^L (a_i^\dagger b_i + b_i^\dagger a_i) \quad (15)
\end{aligned}$$

Para esse problema, começamos com a expansão:

$$a_j = \sum_{m=-\frac{L}{2}}^{\frac{L}{2}} e^{i(mj)} \tilde{a}_m \quad (16)$$

Devido à condição de contorno $a_j = a_{j+L}$, teremos:

$$m = \frac{2\pi n}{L} \text{ onde: } n \in \mathbb{Z} \quad (17)$$

Multiplicando a equação (16) por e^{-ijk} e somando em j de 1 a L , obtemos:

$$\begin{aligned}
\sum_{j=1}^L e^{-ijk} a_j &= \sum_{j=1}^L \sum_{m=-\frac{L}{2}}^{\frac{L}{2}} e^{-ijk} e^{i(mj)} \tilde{a}_m \\
&= \sum_{m=-\frac{L}{2}}^{\frac{L}{2}} \tilde{a}_m \sum_{j=1}^L e^{ij(m-k)} \\
&= \sum_{m=-\frac{L}{2}}^{\frac{L}{2}} \tilde{a}_m \delta_m^k L \\
&= L \tilde{a}_k
\end{aligned} \quad (18)$$

Portanto:

$$\tilde{a}_k = \frac{1}{L} \sum_{j=1}^L e^{-ijk} a_j \quad (19)$$

Além disso, queremos que:

$$a_j^* = a_j \quad (20)$$

Substituindo a Equação (16) e mudando a variável de soma do lado esquerdo ($m \rightarrow -m$), obtemos:

$$\sum_{m=-\frac{L}{2}}^{\frac{L}{2}} e^{i(mj)} \tilde{a}_{-m}^* - e^{i(mj)} \tilde{a}_m = 0 \quad (21)$$

Essa soma somente vale zero se:

$$\tilde{a}_m^* = \tilde{a}_{-m} \quad (22)$$

Agora, é possível demonstrar que:

$$\sum_{j=1}^L a_j^\dagger a_j = L \sum_{m=-\frac{L}{2}}^{\frac{L}{2}} \tilde{a}_m^\dagger \tilde{a}_{-m} \quad (23a)$$

$$\sum_{j=1}^L a_{j+1}^\dagger a_j = L \sum_{m=-\frac{L}{2}}^{\frac{L}{2}} \tilde{a}_m^\dagger \tilde{a}_{-m} e^{im} \quad (23b)$$

$$\sum_{j=1}^L a_j^\dagger a_{j+1} = L \sum_{m=-\frac{L}{2}}^{\frac{L}{2}} \tilde{a}_m^\dagger \tilde{a}_{-m} e^{-im} \quad (23c)$$

$$\sum_{j=1}^L a_j^\dagger b_j = L \sum_{m=-\frac{L}{2}}^{\frac{L}{2}} \tilde{a}_m^\dagger \tilde{b}_{-m} \quad (23d)$$

Substituindo essas identidades em (15), obtemos:

$$H = L \sum_{m=-\frac{L}{2}}^{\frac{L}{2}} \left\{ \epsilon_a \tilde{a}_m^\dagger \tilde{a}_{-m} + \epsilon_b \tilde{b}_m^\dagger \tilde{b}_{-m} - 2J \cos(m) \left(\tilde{a}_m^\dagger \tilde{a}_{-m} + \tilde{b}_m^\dagger \tilde{b}_{-m} \right) \right. \\ \left. - 2J_{ab} \left(\tilde{a}_m^\dagger \tilde{b}_{-m} + \tilde{b}_m^\dagger \tilde{a}_{-m} \right) \right\} \quad (24)$$

Se definirmos as matrizes:

$$\tilde{c}_m := \begin{bmatrix} \tilde{a}_m \\ \tilde{b}_m \end{bmatrix} \quad (25a)$$

$$\tilde{c}_m^\dagger := [\tilde{a}_m^\dagger \quad \tilde{b}_m^\dagger] \quad (25b)$$

$$Q_m := \begin{bmatrix} \epsilon_a - 2J \cos(m) & -2J_{ab} \\ -2J_{ab} & \epsilon_b - 2J \cos(m) \end{bmatrix} \quad (25c)$$

Se substituirmos essas definições em (24), podemos reescrevê-lo como:

$$H = L \sum_{m=-\frac{L}{2}}^{\frac{L}{2}} \tilde{c}_m^\dagger Q_m \tilde{c}_{-m} \quad (26)$$

Diagonalizando essa nova matriz Q_m obteremos uma nova base como combinação linear dos operadores \tilde{a}_m , \tilde{a}_m^\dagger , \tilde{b}_m e \tilde{b}_m^\dagger . Nessa base, o Hamiltoniano será diagonal, e teremos dois tipos de excitação diferentes da rede, representadas pelos dois autovetores dessa matriz, cada qual com sua relação de dispersão. Os autovalores dessa nova matriz serão:

$$\lambda_{\mu,m} = \frac{\epsilon_a + \epsilon_b}{2} + 2J \cos(m) - \sqrt{2J_{ab}^2 + \left(\frac{\epsilon_a - \epsilon_b}{2}\right)^2} \quad (27a)$$

$$\lambda_{\nu,m} = \frac{\epsilon_a + \epsilon_b}{2} + 2J \cos(m) + \sqrt{2J_{ab}^2 + \left(\frac{\epsilon_a - \epsilon_b}{2}\right)^2} \quad (27b)$$

Essas são, portanto, as relações de dispersão desse Hamiltoniano.